

Механика материалов: прочность, ресурс, безопасность

УДК 620.191.33:539.376

КИНЕТИКА РАЗВИТИЯ ТРЕЩИН В ЭНЕРГОМАШНОСТРОИТЕЛЬНЫХ СТАЛЯХ ПРИ ВЫСОКОТЕМПЕРАТУРНОЙ ПОЛЗУЧЕСТИ¹

© Н. А. Махутов², Е. А. Гринь³, В. А. Саркисян³

Статья поступила 7 июля 2015 г.

Исследованы особенности кинетики развития трещин в сталях при ползучести с позиций механики разрушения. Показано, что скорость роста трещин при ползучести может быть аппроксимирована степенной зависимостью от параметра C^* или от коэффициента интенсивности напряжений, причем показатели степени этих зависимостей являются функцией характеристик длительной прочности и ползучести материала. Для описания скорости трещин ползучести предложено использовать приведенный коэффициент интенсивности напряжений, учитывающий характер распределения напряжения в расчетном сечении и время развития трещины. Экспериментально подтверждены преимущества использования приведенного коэффициента интенсивности напряжений в качестве корреляционного параметра, описывающего скорость роста трещин ползучести.

Ключевые слова: стали; ползучесть; температура; скорость развития трещин; параметр C^* ; коэффициент интенсивности напряжений (КИН); длительная прочность; напряженное состояние; время роста трещины; кинетическая диаграмма трещиностойкости.

Поскольку стадия докритического развития трещины в металле при ползучести может составлять значительную долю (до 50 % и более) от общей долговечности детали [1, 2], вопросы интерпретации закономерностей развития трещин при ползучести приобретают важное значение для определения ресурса безопасной эксплуатации высокотемпературных элементов оборудования [1 – 5]. Из анализа полей напряжений и деформаций в вершине трещины [6, 7] сформулированы условия применения коэффициента интенсивности напряжений (КИН) в качестве базовой характеристики, коррелирующей со скоростью роста трещины (СРТ) при ползучести. Общие методические вопросы анализа напряженно-деформированных состояний в зонах и вне зон трещин для обоснования трещиностойкости, ресурса и безопасности широко рассматривались на страницах журнала «Заводская лаборатория. Диагностика материалов» [8]. Экспериментальные исследования в данном направлении показали, что КИН (параметр K_1) может удовлетворительно описывать развитие трещины ползучести в случае маломасштабной текучести [9, 10], а поэтому его использование в качестве корреляционного параметра СРТ

актуально для малопластичных в условиях ползучести материалов либо для зон с невысокой конструктивной концентрацией напряжений, либо для относительно кратковременных процессов (испытаний), завершающихся до наступления перехода от ползучести в ограниченном объеме к условиям общей ползучести.

В тех случаях, когда пластические деформации или деформации ползучести возникают в макрозонах за пределами трещин, критерии линейной механики разрушения (K_1) оказываются недостаточными и возникает необходимость использования нелинейной механики разрушения — деформационных или энергетических критериев [6, 12]. Ниже рассмотрены закономерности развития трещин в условиях маломасштабной ползучести.

Научные основы анализа кинетики трещин

Теоретические и экспериментальные данные продемонстрировали достаточно удовлетворительную корреляцию между СРТ при ползучести и параметром K_1 в виде традиционного степенного соотношения [3 – 14]

$$\frac{da}{dt} = AK_1^\beta, \quad (1)$$

где da/dt — скорость роста трещины; A и β — эмпирические постоянные материала.

¹ Публикуемые результаты получены при финансовой поддержке Министерства образования и науки РФ (соглашение о предоставлении субсидии № 14.576.21.0048).

² Институт машиноведения им. А. А. Благонравова РАН, Москва, Россия; e-mail: imash-ru@mail.ru

³ ОАО «ВТИ», Москва, Россия; e-mail: lkromvti@mail.ru

Вместе с тем наблюдалось существенное «расслоение» кривых СРТ, построенных согласно зависимости (1), заключающееся в смещении (практически эквидистантном) относительно друг друга различных групп экспериментальных данных, полученных для различных типов или размеров образцов [9–13]. В связи с этим предлагалось [9, 14] при описании СРТ в условиях ползучести учитывать не только параметр механики разрушения (КИН), но также уровень и характер распределения напряжений и размеры образца (сечения). Такая процедура нормирования основного корреляционного параметра (K_1) по напряженному состоянию и масштабному фактору позволила [9, 14] значительно уменьшить расслоение кривых СРТ и практически свести их в общий массив (достаточно широкой полосы разброса), соответствующий аппроксимации (1).

Однако для полномасштабной текучести в условиях ползучести, что актуально для высокопластичных материалов, для интерпретации процесса разрушения предпочтительными оказались преимущественно деформационные и энергетические критерии нелинейной механики разрушения [3, 6, 9–15], в частности, модифицированный J -интеграл, или так называемый C^* -интеграл [7, 16]. Параметр C^* ($C^* = \dot{J}$) определяется на основе анализа полей скоростей деформаций в вершине трещины и скорости ее раскрытия [16, 17]. Экспериментально подтверждено, что для пластичных материалов корреляция между СРТ при ползучести и параметром C^* является более удачной, чем аналогичная аппроксимация по параметру K_1 в виде (1) [9, 10, 17].

Закономерности кинетики развития трещин ползучести могут быть обоснованы аналитически с использованием закона установившейся ползучести Нортонса

$$\dot{\varepsilon} = \dot{\varepsilon}_0 (\sigma/\bar{\sigma})^m, \quad (2)$$

аппроксимации кривой длительной прочности

$$\left(\frac{\tau}{\tau_0} \right) = \lambda \left(\frac{\sigma}{\sigma_0} \right)^{-n} \text{ или } \tau = \bar{\tau}_0 \left(\frac{\sigma}{\sigma_0} \right)^{-n} \quad (3)$$

и системы уравнений Хатчинсона – Розенгрена – Райса (ХРР) [6, 18]. В соотношениях (2) и (3) коэффициенты ($\dot{\varepsilon}_0, \bar{\sigma}, \sigma_0, \bar{\tau}_0$) и показатели степени (m и n) являются характеристиками материала. Интегрируя (2) по времени и подставляя в него уравнение (3), получаем

$$\varepsilon = \dot{\varepsilon}_0 \bar{\tau}_0 \left(\frac{\sigma}{\bar{\sigma}} \right)^{m-n} = \bar{\varepsilon}_0 \left(\frac{\sigma}{\bar{\sigma}} \right)^{m-n}, \quad (4)$$

где $\bar{\varepsilon}_0$ — деформация при разрушении в условиях одноосной ползучести при напряжении $\bar{\sigma}$.

С учетом зависимости (4) уравнения ХРР могут быть представлены в следующем виде:

$$\sigma = \bar{\sigma} \left(\frac{J}{\bar{\sigma} I_m} \right)^{\frac{1}{m+1}} r^{-\frac{1}{m+1}}, \quad \varepsilon = \bar{\varepsilon}_0 \left(\frac{J}{\bar{\sigma} I_m} \right)^{\frac{1}{m+1}} r^{-\frac{1}{m+1}}, \quad (5)$$

где $v = 1/(m-n)$; I_m — множитель, зависящий от показателей ползучести m и длительной прочности n . В системе уравнений (5) опущены функции геометрических координат. Продифференцировав второе уравнение системы по времени и умножив его на первое, получим

$$\sigma \dot{\varepsilon} = \bar{\sigma} \bar{\tau}_0 \frac{1}{v+1} J r^{-1}. \quad (6)$$

Из последнего соотношения с учетом (2) следует, что $\dot{\varepsilon} \sim J^{m/(m+1)}$ или $\sigma \sim J^{1/(m+1)}$.

В рамках концепции исчерпания длительной пластичности [19] можно принять, что развитие трещины происходит дискретными шагами по мере накопления в характерном локальном объеме металла, примыкающем к вершине трещины, предельной деформации ползучести. Тогда с учетом соотношений (2) и (6) получим:

$$\dot{\varepsilon} \Delta \tau_c = \varepsilon_{cf}, \text{ или } \Delta \tau_c \frac{\bar{\sigma} \bar{\varepsilon}_0}{v+1} \frac{1}{\sigma} J \frac{1}{r_c} = \varepsilon_{cf}, \quad (7)$$

где $\Delta \tau_c$ — продолжительность элементарного акта разрушения; r_c — размер элементарного объема (зона накопленного критического повреждения), в котором происходит исчерпание длительной пластичности металла с последующим дискретным актом разрушения; ε_{cf} — предельная деформация разрушения. Из уравнения (7) можно записать

$$\frac{da}{d\tau} = \frac{r_c}{\Delta \tau_c} = \frac{\sigma \bar{\varepsilon}_0}{v+1} \frac{1}{\sigma} \frac{J}{\varepsilon_{cf}}, \quad (8)$$

откуда

$$\frac{da}{d\tau} \sim (C^*)^{\frac{m}{m+1}}, \quad (9)$$

где C^* — модифицированный J -интеграл ($C^* \sim J$). Из последнего выражения видно, что показатель степени в кинетической зависимости СРТ ползучести вида $da/d\tau \sim (C^*)^\varphi$ будет соответствовать $\varphi = m/(m+1)$. Аналогичное соотношение для φ приведено в работе [20]. Его численное значение, составляющее для теплоустойчивых сталей перлитного класса порядка 0,7–0,9 при температуре в районе 540–550 °C, достаточно хорошо согласуется с показателем степени при параметре C^* [5, 19] в экспериментальных зависимостях СРТ ползучести вида (9). С учетом соотношения $\sigma \sim J^{1/(m+1)}$ можно видеть, что при использовании КИН в качестве корреляционного параметра СРТ ползучести на основе рассмотренной модели показатель степени в зависимости вида (1) бу-

дет соответствовать показателю степени кривой ползучести, т.е. $\beta = m$. Тогда для теплоустойчивых сталей следует ожидать, что показатель степени в кинетической диаграмме вида (1) составит $\beta = 3 - 5$ при температуре около 560 °C и несколько большую величину при меньших температурах.

Признавая, что модифицированный J -интеграл (C^*) является достаточно универсальным параметром, управляющим процессом развития трещины ползучести, нельзя не отметить, что его определение в реальных конструкциях с целью практического использования зависимостей типа (9) сопряжено со значительными трудностями, в то время как расчет параметра КИН неплохо освоен [21] при наличии данных по напряжениям, а также виду и размерам трещины. При этом ограничения, накладываемые на применение КИН в качестве корреляционного параметра СРТ ползучести, сводятся в основном к необходимости учета вида напряженного состояния и степени накопленной со временем поврежденности металла. Одним из вариантов учета накопленной поврежденности в металле является применение обобщенного параметра КИН в виде [20, 22]

$$K_{1M} = \frac{K_1}{1-\omega}, \quad (10)$$

где ω — характеристика поврежденности. Параметр ω является функцией времени и, как показано в работе [10],

$$\dot{\omega} = f(\sigma_1, \sigma_\Sigma, \tau),$$

т.е. скорость накопления поврежденности в металле зависит от главного напряжения (σ_1), характера напряженного состояния (σ_Σ) в рабочем сечении тела с трещиной и продолжительности (τ) термосилового воздействия.

Степенные зависимости типа (1) – (5), (9) получаются из чисто деформационных [15], а также из энергетических трактовок [11, 12, 15] деформирования и разрушения.

Исходя из соображений максимального упрощения расчетных процедур как при аппроксимации экспериментальных данных, так и при решении практических задач оценки живучести оборудования, в данной работе изложен подход к интерпретации кинетики разрушения при высокотемпературной ползучести посредством использования параметра приведенного КИН (K_1^*), нормированного на коэффициент, учитывающий степень неоднородности напряженного состояния в расчетном сечении, и на временной параметр, учитывающий время развития трещины. Результирующее напряжение σ_p в расчетном сечении тела с трещиной определяется по мембранный (σ_m) и изгибной (σ_b) составляющим:

$$\sigma_p = \sigma_m + \sigma_b k_a,$$

где $k_a = r^*/b$ — относительная часть сечения детали, в пределах которой напряжение изгиба σ_b является положительным, т.е. при $0 < x \leq r^*$ величина $\sigma_b(x) \geq 0$ (b — протяженность сечения-нетто детали). Учитывая далее согласно (6), что $J \sim (v+1)\sigma_p$, введем понятие эквивалентного напряжения σ^* , являющегося функцией σ_p и параметра v . Заменяя для удобства v на $1/\chi$ (тогда $\chi = m - n$), путем несложных преобразований с учетом условия $\sigma^* = \sigma_m$ при $\sigma_b = 0$ получим

$$\sigma^* = k_a^* \sigma_p,$$

где

$$k_a^* = \frac{\chi}{1+\chi} \left[1 + \frac{1}{\chi} \frac{\sigma_m}{\sigma_m + k_a \sigma_b} \right]. \quad (11)$$

В свою очередь, для учета временного фактора введем параметр (временной коэффициент), выражаемый через известный параметр Ларсона – Миллера (Л-М), $P = T(20 + \lg \tau) \cdot 10^{-3}$, где T — температура абсолютная; τ — время. Увязывая временной коэффициент с размером трещины, с учетом функциональной зависимости между КИН и размером трещины запишем выражение

$$k_\tau^* = \sqrt{P_i/P_0}, \quad (12)$$

где P_0 и P_i — параметр Л-М, отвечающий состоянию металла в начале роста трещины и в конкретный момент времени в процессе ее развития соответственно. Принимая начальный момент роста трещины за условную единицу (с целью исключения сингулярности) и полагая, что температура при стационарном режиме сохраняется неизменной, приходим к выражению

$$k_\tau^* = \sqrt{P_i/P_0} = \sqrt{1 + 0,05 \lg \tau}. \quad (13)$$

Таким образом, предлагаемый вариант аппроксимации кинетических диаграмм трещиностойкости материалов при ползучести с учетом характера напряженного состояния и времени развития трещины сводится к использованию параметра приведенного КИН (K^*) в виде

$$K^* = k_a^* k_\tau^* K_1. \quad (14)$$

Экспериментальные исследования закономерностей развития трещин и анализ результатов

Кинетические диаграммы трещиностойкости в условиях высокотемпературной ползучести получали на теплоустойчивых сталях перлитного класса, широко используемых для изготовления энергетического оборудования. Исследовали паропроводные стали 12Х1МФ, 15Х1М1Ф(Л) и роторные стали 25Х1М1ФА (Р2МА), 20Х3МВФА (ЭИ-415). Сталь 12Х1МФ представлена вырезками из прямой трубы и гнутого отвода в исходном состоянии, а также из гнутого отвода

после эксплуатационной наработки ~120 тыс. ч при температуре 550 – 560 °C, сталь 15Х1М1Ф и 15Х1М1ФЛ — вырезками из корпусов задвижек — штампсварной и литой соответственно (металл обеих задвижек в исходном состоянии). Химический состав и механические свойства стали 12Х1МФ и 15Х1М1Ф соответствовали требованиям ТУ 14-3-460-75, а стали 15Х1М1ФЛ — ТУ 108.961.03-79.

Роторную сталь Р2МА исследовали на вырезках из высокотемпературных зон роторов высокого и среднего давления паровых турбин (К-200-130), отработавших различные сроки в составе оборудования тепловых электростанций (~50 – 55 и 200 тыс. ч). Сталь ЭИ-415 представлена вырезкой из совмещенного ротора высокого и среднего давления, демонтированного с турбины К-160-130 после наработки ~140 тыс. ч. Он относился к числу первой партии роторов из стали ЭИ-415 и принятая тогда штатная термообработка обеспечивала весьма высокий уровень прочностных свойств металла, но пониженные пластические характеристики и вязкость. В дальнейшем за счет совершенствования режима термообработки были повышенены пластические свойства и вязкость стали. Химический состав и механические свойства стали Р2МА в целом соответствовали требованиям ТУ 108.1029-81, в то время как для стали ЭИ-415 наблюдался пониженный относительно данного ТУ уровень пластических свойств, обусловленный указанными выше причинами. В связи с этим исследуемая сталь ЭИ-415 имела, скорее всего, консервативные характеристики трещиностойкости.

Для проведения испытаний использовали компактные образцы на внецентренное растяжение名义 толщиной 25 мм (тип СТ-1). Их изготавливали таким образом, чтобы плоскость надреза была ориентирована в радиально-осевом сечении цилиндрического элемента (трубы, вала). Для гнутых отводов образцы вырезали из растянутой зоныгиба. На лицевых гранях образцов выполняли поверхностные боковые надрезы (проточки или пазы) треугольного профиля в продолжение основного надреза образца. Благодаря этому трещина ползучести росла в плоскости боковых проточек, т.е. в продолжении плоскости основного надреза образца. При этом стеснение деформаций в плоскости боковых проточек обеспечивало условия, приближенные к плоскодеформированному состоянию. На всех испытуемых образцах выращивали исходные усталостные трещины в соответствии с установленными требованиями [23].

Испытания образцов проводили на серийных испытательных машинах типа АИМА 5-1 при различных уровнях температуры. Паропроводные стали исследовали в интервале температур 540 – 594 °C; роторные стали — в интервале температур 505 – 540 °C. Для обеспечения заданного температурного режима испытаний использовали муфельные печи, изготовленные на базе серийных электропечей из комплекта

испытательной машины АИМА, в трехсекционном исполнении с автономным регулированием напряжения на каждой секции. Существующая схема управления нагревом печи установки АИМА была усовершенствована с целью повышения точности и плавности регулировки температурного режима испытаний. В печи располагали цепочку из двух образцов, последовательно включенных в силовую цепь машины. Для регистрации раскрытия образца вдоль оси действия силы на захватах устанавливали специальную оснастку, обеспечивающую возможность измерения параметра раскрытия за пределами горячей зоны.

При проведении испытаний с периодичностью 2 – 4 ч измеряли перемещения образца (раскрытия бегеров надреза) по линии действия силы. На начальном этапе испытаний для фиксирования момента стратигации трещины проводили частичную (~15 – 20 % от заданной нагрузки) разгрузку образца с последующим догружением до заданного уровня. При отклонении тангенса угла наклона диаграммы нагрузка — перемещение более чем на 5 % от исходной величины дальнейшую периодическую разгрузку прекращали и данный момент времени считали началом роста трещины в условиях ползучести. Длительность испытаний задавали условием достижения величиной перемещения образца определенного уровня: обычно 1,0 – 2,0 мм в зависимости от заданной нагрузки и длины исходной трещины. Максимальная длительность испытания составила около 26 тыс. ч. По достижении заданной величины перемещения образец снимали с испытаний и доламывали при комнатной температуре на виброустановке. По излому образца на инструментальном микроскопе измеряли длину исходной усталостной трещины \bar{a}_0 и конечную длину трещины \bar{a}_c . Измерения выполняли по девяти точкам, равнотстоящим друг от друга (с интервалом ~2 мм) по толщине образца. Усредненную величину подроста трещины за время испытаний определяли как $\Delta a = \bar{a}_c - \bar{a}_0$. КИН для компактного образца с боковыми проточками (пазами) рассчитывали по формуле [24]

$$K_1 = K_s (B/B_N)^{0.68},$$

где K_s — значение КИН для компактного образца в стандартном исполнении [23]; $(B/B_N)^{0.68}$ — член, учитывающий влияние боковых пазов (B и B_N — толщина образца в брутто и нетто-сечениях соответственно). При определении КИН по стандартной формуле использовали для каждого подроста трещины средние значения ее длины

$$\bar{a} = \bar{a}_0 + \overline{\Delta a}/2.$$

Результаты исследований в виде кинетических зависимостей СРТ от величины КИН (K_1) в условиях ползучести (зависимости типа (1)) для указанных выше сталей приведены на рис. 1 – 3.

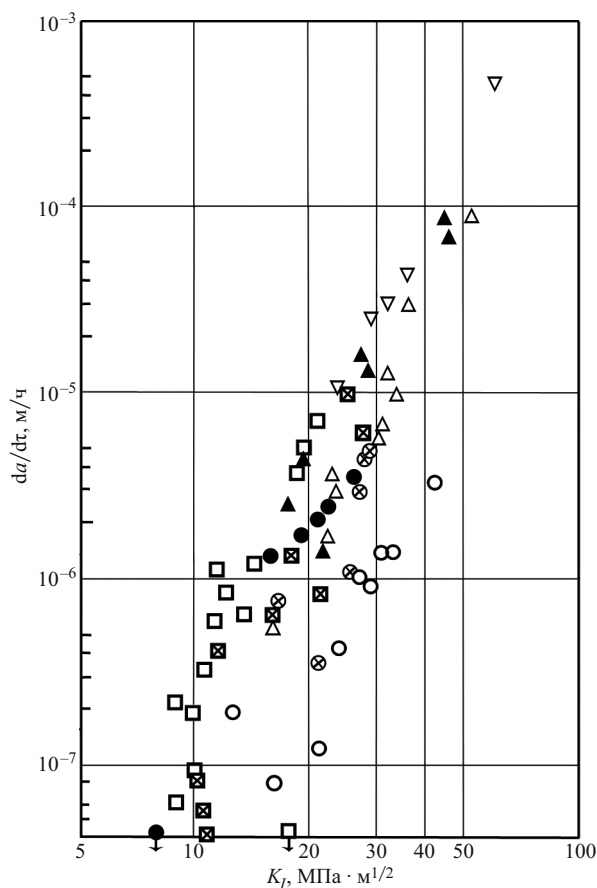


Рис. 1. Характеристики трещиностойкости при ползучести стали 12Х1МФ: \circ , \otimes , \bullet — труба в исходном состоянии (при температуре T , равной 560, 583 и 594 °C соответственно; \triangle , \blacktriangle , \blacksquare , \square — гиб в исходном состоянии; \triangle , \blacktriangle — компактные образцы при 560 и 583 °C; \blacksquare , \square — цилиндрические образцы при 540 и 560 °C; ∇ — гиб после наработки ~ 120 тыс. ч ($T = 560^\circ\text{C}$)

Обращает на себя внимание достаточно большой разброс экспериментальных данных, особенно в случаях, когда металл конкретной марки стали представлен в различных состояниях (см. рис. 1, 3). Повышение температуры приводит к ожидаемому увеличению СРТ в сталях для каждого рассмотренного состояния. Металл растянутой части гиба из стали 12Х1МФ характеризуется более высокими СРТ (т.е. более низкой трещиностойкостью) по сравнению с металлом прямой трубы (см. рис. 1). Это обусловлено тем, что в растянутой зоне отвода в процессе технологической операции гибки формируется поле интенсивной остаточной деформации, оказывающей существенное влияние на свойства металла. Эффект длительной наработки металла проявляется в снижении сопротивления развитию трещин при ползучести (см. рис. 1 и 3), что в принципе корреспондирует с концепцией влияния на кинетику трещин ползучести микроповрежденности металла, накопленной в процессе длительного термосилового воздействия [20, 22], согласно соотношению (10).

На рис. 1 приведены результаты исследований кинетики трещин при ползучести, выполненных ранее в

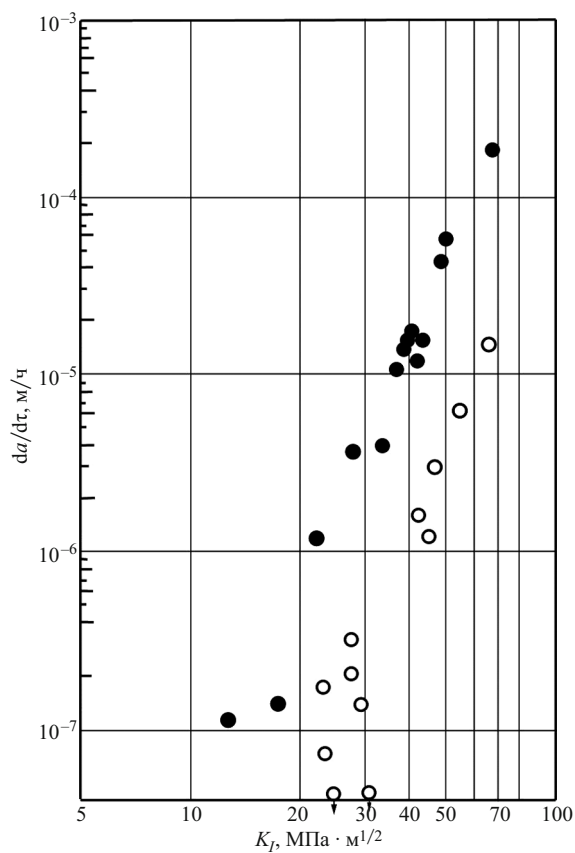


Рис. 2. Трещиностойкость при ползучести стали 15Х1М1Ф в катано-штампованных (\circ) и литом (\bullet) исполнениях при температуре 560 °C (исходный металл)

ВТИ на цилиндрических образцах с кольцевой трещиной. Видно, что для одинакового материала в условиях однородного напряженного состояния (цилиндрический образец) трещины развиваются быстрее (при сопоставимых значениях КИН), чем в условиях неравномерного поля напряжений при наличии изгибной составляющей (компактный образец). Подобный характер влияния вида напряженного состояния на трещиностойкость металла при ползучести согласуется с результатами работы [9], в которой показано, что СРТ в условиях ползучести контролируется не только параметром КИН, но и характером распределения напряжений в сечении образца. Похожая закономерность прослеживается в предложенном в работе [22] подходе к анализу сопротивляемости сталей развитию трещин при ползучести, суть которого сводится к необходимости учета как сингулярной составляющей повреждаемости металла в локальной зоне вершины трещины, так и регулярной компоненты повреждаемости, зависящей, в частности, от напряженного состояния в сечении элемента (или образца).

Для стали 15Х1М1Ф трещиностойкость при ползучести литого металла ниже, чем металла в катано-штампованных исполнениях (см. рис. 2). Из сопоставления диаграмм на рис. 1 и 2 следует также, что сталь 15Х1М1Ф в катано-штампованных варианте отличается несколько более высокой сопротивляемостью раз-

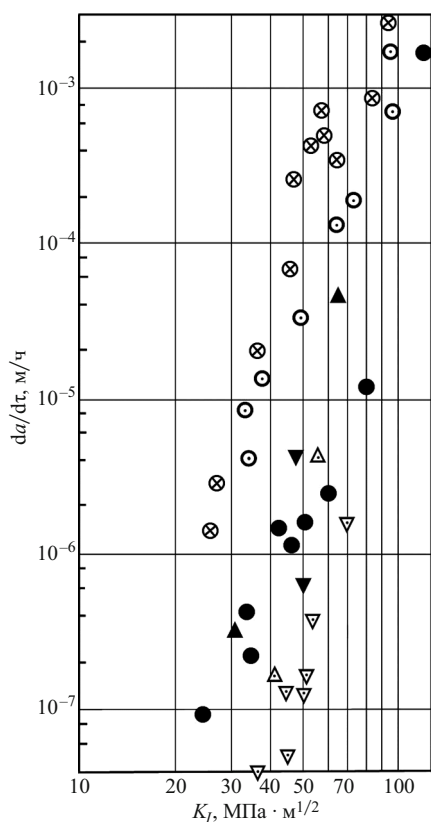


Рис. 3. Трещиностойкость при ползучести роторных сталей: P2M(A) — при температуре T , равной $525 - 530^\circ\text{C}$ (●, ▲, ▼) и 505°C (△, ▽) (наработка ~ 50 тыс. ч (▽, ▽); ~ 55 тыс. ч (●); ~ 200 тыс. ч (▲, △); ЭИ-415 — при T , равной 540 (⊗) и 525°C (○) (наработка 140 тыс. ч)

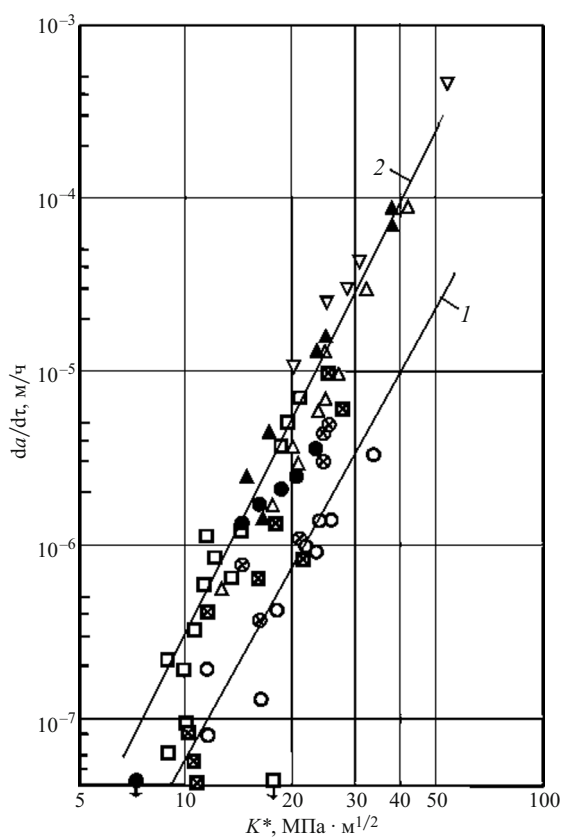


Рис. 4. Зависимости скорости роста трещин ползучести от приведенного КИН (K^*) в стали 12Х1МФ: обозначения экспериментальных точек те же, что на рис. 1; 1 и 2 — кинетические диаграммы для металла прямой трубы и гиба соответственно

витию трещин ползучести по сравнению с менее жаропрочной сталью 12Х1МФ в аналогичном исполнении при одинаковой температуре испытаний. Это может означать, что трещиностойкость сталей при высокотемпературной ползучести зависит от жаропрочных свойств, что в свою очередь объясняет также различие в характеристиках трещиностойкости литого и катаного металла одной марки стали (см. рис. 2). Между тем результаты испытаний стали 15Х1М1ФЛ в двух структурно-контрастных состояниях (бейнит и феррит с карбидами) показали [5], что сопротивляемость развитию трещин ползучести металла с более высокими жаропрочными свойствами и пониженной пластичностью (бейнитная структура) ниже, чем менее жаропрочного, но более пластичного металла (феррит) в области относительно низких КИН. В то же время при достаточно высоких уровнях КИН тенденция изменяется и теперь уже сталь с ферритной структурой проявляет более низкую трещиностойкость при ползучести, чем сталь с бейнитной структурой (менее пластичная, но более жаропрочная). Исходя из этого следует полагать, что сопротивление металла росту трещин при высокотемпературной ползучести определяется комплексом его свойств, в частности, параметрами кривой длительной прочности и кривой пол-

зучести, что собственно подтверждается структурой соотношений (8) и (9).

Роторные стали Р2МА и ЭИ-415 отличаются от паропроводных сталей (12Х1МФ и 15Х1М1Ф) более высокой прочностью и, как следствие, пониженной пластичностью, в связи с чем параметр КИН для них является предпочтительным для описания СРТ в условиях высокотемпературной ползучести [5, 9]. Это подтверждается достаточно умеренным разбросом экспериментальных данных (см. рис. 3) для конкретной партии металла и одинаковой температуры испытаний. Обращает на себя внимание более низкая сопротивляемость росту трещин ползучести стали ЭИ-415 по сравнению со сталью Р2МА. По-видимому, фактор длительной пластичности является преобладающим для роторных сталей в плане влияния на сопротивление металла росту трещин ползучести. Повышение температуры испытаний приводит к увеличению СРТ (см. рис. 3), подтверждая, что процесс разрушения сталей в условиях высокотемпературной ползучести является термоактивируемым. Трещиностойкость стали Р2МА имеет тенденцию к снижению в условиях ползучести при существенном увеличении (до ~ 200 тыс. ч) исходной наработки металла. В целом характер экспериментальных данных на рис. 3 свидетельствует, что увеличение СРТ с повышением

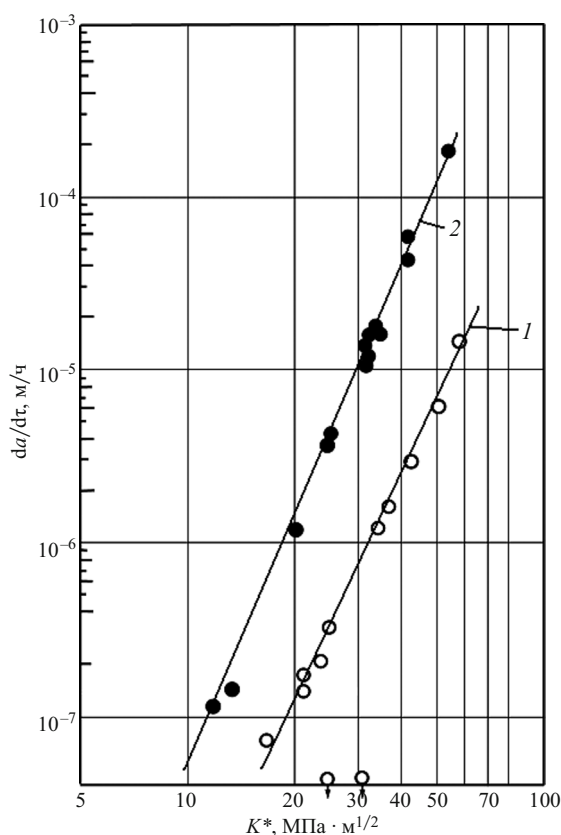


Рис. 5. Зависимости скорости роста трещин ползучести от приведенного КИН (K^*) в стали 15Х1М1Ф в катано-штампованных (1) и литом (2) исполнениях при 560 °С (исходное состояние)

КИН в стали Р2МА происходит более интенсивно, чем в стали ЭИ-415, что приводит к сближению соответствующих кинетических зависимостей данных сталей в области достаточно высоких значений КИН. Как уже отмечалось, аналогичная тенденция была установлена по результатам исследований стали 15Х1М1ФЛ, представленной двумя контрастными структурными состояниями [5].

В рамках предложенного здесь подхода, заключающегося в учете при определении КИН степени неоднородности напряженного состояния и времени развития трещины, полученные экспериментальные данные были дополнительно обработаны с определением приведенного КИН (K^*) согласно соотношению (14) и соответствующей перестройкой кинетических диаграмм. Полученные в результате обработки данных согласно уравнению (11) значения коэффициента k_a^* варьировались (для компактных образцов) в диапазоне 0,69 – 0,89, а значения коэффициента k_τ^* , вычисленные по формуле (13), составляли от 1,04 до ~1,11. Экспериментальные зависимости СРТ от приведенного КИН (точки) для исследованных сталей показаны на рис. 4 – 6.

Видно, что реализация предложенного приема заметно снизила разброс экспериментальных данных для каждой конкретной партии испытанных образцов,

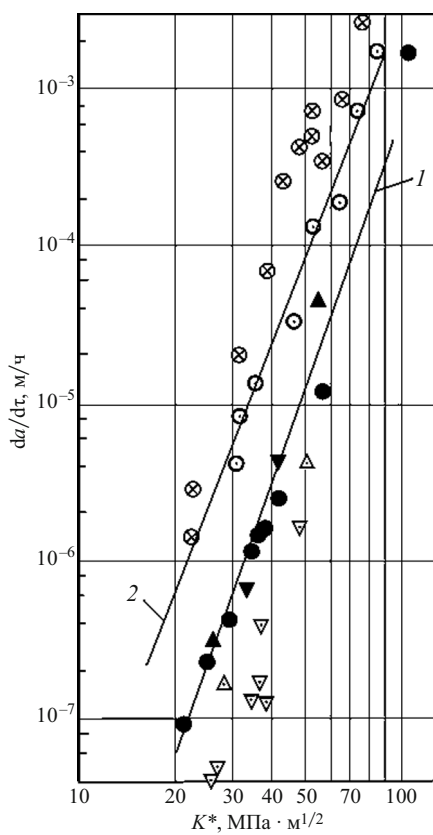


Рис. 6. Зависимости СРТ ползучести от приведенного КИН (K^*) в роторной стали: обозначения экспериментальных точек те же, что на рис. 3; 1 и 2 — кинетические диаграммы для сталей Р2МА и ЭИ-415 соответственно

т.е. для одного состояния металла, одинаковой температуры и т.д. Кроме того, результаты испытаний, проведенных для одного и того же материала (металл гиба из стали 12Х1МФ в исходном состоянии) на образцах различного типа, сблизились между собой и можно констатировать, что они располагаются в общей полосе разброса (см. рис. 4). Это подтверждает, что степень неоднородности напряженного состояния и накопленная поврежденность в сечении образцов учитываются за счет использования приведенного КИН в качестве параметра СРТ, благодаря чему нивелируется различие в кинетических диаграммах трещиностойкости, обусловленное влиянием этих факторов. Характерно также, что все отмеченные ранее тенденции по влиянию состояния металла и температуры испытаний на кинетику роста трещин ползучести сохраняются при интерпретации кинетических зависимостей через параметр приведенного КИН (см. рис. 4 – 6).

Для каждого исследованного материала строили кинетическую диаграмму трещиностойкости в координатах $da/dt - K^*$ для конкретно выбранной температуры испытаний, наиболее актуальной с точки зрения условий эксплуатации изделий из данного материала. При этом результаты испытаний по различным состояниям (наработке) металла конкретной стали объединяли в общий массив экспериментальных

Характеристики кинетических диаграмм трещиностойкости сталей при ползучести

Марка стали	Оборудование, элементы	Температура, °С	Коэффициенты кинетической диаграммы трещиностойкости	
			A, (МПа) $^{-\beta M^1 - \beta/2/4}$	β
12Х1МФ	Паропроводы: трубы, фасонные детали	560	Трубы: $8,97 \cdot 10^{-12}$ Гибы: $1,90 \cdot 10^{-11}$	3,80 4,20
15Х1М1Ф	Паропроводы: трубы, фасонные детали, арматура	560	$1,68 \cdot 10^{-13}$	4,50
15Х1М1ФЛ	Литые изделия: детали паропроводов, корпусные детали турбин, арматуры	560	$1,05 \cdot 10^{-12}$	4,75
P2МА	Роторы, диски паровых турбин	525	$1,13 \cdot 10^{-15}$	5,92
ЭИ-415		525	$6,70 \cdot 10^{-14}$	5,40

точек и обрабатывали методом наименьших квадратов с построением диаграммы в виде верхней границы 95 %-го доверительного интервала. Для паропроводных сталей 12Х1МФ и 15Х1М1Ф(Л) кинетические диаграммы построены для температуры 560 °С, а для роторных сталей Р2МА и ЭИ-415 — для температуры 525 °С. Полученные в результате кинетические кривые трещиностойкости сталей $da/dt - K^*$ изображены на рис. 4 – 6. Соответствующие этим кривым значения коэффициентов степенного уравнения СРТ при ползучести вида (1) приведены в таблице. Здесь же указаны изготавливаемые из исследованных марок сталей элементы энергооборудования.

Полученные результаты свидетельствуют, что показатель степени β в кинетической зависимости трещиностойкости вида (1) для паропроводных (корпусных) сталей равен примерно 4 – 5 и для роторных сталей — 5,5 – 6,0, что согласуется с изложенными выше аналитическими зависимостями (8), (9). Следует обратить внимание, что сталь 15Х1М1Ф в рамках данного исследования была представлена в катано-штампованным исполнении, т.е. больше соответствовала материалу катаной трубы. Можно ожидать, что с переходом к металлу растянутой части гнутых отводов характеристики трещиностойкости этой стали при ползучести будут снижаться (аналогично, как это имеет место для стали 12Х1МФ), приближаясь к диаграмме трещиностойкости литого металла.

Обобщая изложенный материал, можно заключить следующее. Для теплоустойчивых сталей, применяемых в энергомашиностроении, экспериментально подтверждается возможность аппроксимации скорости роста трещин при ползучести в виде степенной зависимости от коэффициента интенсивности напряжений. Использование приведенного КИН, учитывавшего особенности напряженного состояния в рабочем сечении и накопленную в процессе роста трещины поврежденность металла, позволяет заметно снизить разброс экспериментальных данных в указанной аппроксимации и построить кинетическую диаграмму трещиностойкости, приемлемую для практических расчетов живучести оборудования в условиях ползучести.

ЛИТЕРАТУРА

1. Машиностроение. Энциклопедия. Т. 1 – 38. — М.: Машиностроение, 1987 – 2009.
2. Безопасность России. Правовые, социально-экономические и научно-технические аспекты. Т. 1 – 44. — М.: МГОФ «Знание», 1998 – 2013.
3. Фролов К. В., Израилев Ю. Л., Махутов Н. А. и др. Расчет термонапряжений и прочности роторов и корпусов турбин. — М.: Машиностроение, 1998. — 239 с.
4. Ирвин Дж., Парис П. Основы теории роста трещин и разрушения. В кн.: Разрушение. Т. 3 / Под общей ред. Г. Либовица. — М.: Мир, 1976. С. 17 – 66.
5. Туляков Г. А. Скоробогатых В. Н., Гриневский В. В. Конструкционные материалы для энергомашиностроения. — М.: Машиностроение, 1991. — 240 с.
6. Rice J., Rosengren G. Plane — stain deformation near a crack tip / Journal of the Mechanics and Physics of Solids. 1968. Vol. 16. N 1. P. 1 – 12.
7. Riedel H. Creep deformation at crack tips in elastic-viscoplastic solids / Journal of the Mechanics and Physics of Solids. 1981. Vol. 29. P. 35 – 49.
8. Махутов Н. А. Обоснование предельных состояний материалов и конструкций в штатных и нештатных ситуациях / Заводская лаборатория. Диагностика материалов. 2013. Т. 79. № 12. С. 3 – 5.
9. Котеразава Р., Мори Т. Применимость критериев механики разрушения к распространению трещины в условиях ползучести / Теоретические основы инженерных расчетов / Труды АОИМ. 1977. № 4. С. 11 – 18.
10. Бансюссан П., Маас Е., Пелу Р., Пино А. Исследование инициирования и распространения трещины при ползучести с привлечением принципов механики разрушения и локального подхода / Теоретические основы инженерных расчетов / Труды АОИМ. 1988. № 4. С. 145 – 158.
11. Морозов Е. М., Зернин М. В. Контактные задачи механики разрушения. — М.: Изд-во URSS, 2010. — 544 с.
12. Матвиенко Ю. Г. Модели и критерии механики разрушения. — М.: Физматлит, 2006. — 328 с.
13. Ohtani R., Nitta A. Crack propagation in creep / Journal of the Society of Materials Science. 1976. Vol. 25. P. 746 – 752.
14. Балина В. С., Ланин А. А. Прочность и долговечность конструкций при ползучести. — СПб.: Политехник, 1995. — 182 с.
15. Махутов Н. А. Прочность и безопасность: фундаментальные и прикладные исследования. — Новосибирск: Наука, 2008. — 528 с.
16. Landes J. D., Begley J. A fracture mechanics approach to creep crack growth / ASTM STP-590. 1976. P. 128 – 148.
17. Harper M. P., Ellison E. G. The use of the C^* parameter in predicting creep crack propagation rates / Journal of Strain Analysis. 1977. Vol. 12. P. 167 – 179.
18. Hutchinson J. Plastic stress and strain fields at a crack tip / Journal of the Mechanics and Physics of Solids. 1968. Vol. 16. N 5. P. 337 – 347.
19. Nikbin K., Smith D., Webster G. An Engineering approach to the Prediction of Creep Crack Growth / Transaction of the ASME. 1986. Vol. 107. P. 186 – 191.
20. Петрея Ю. К. Физико-механические основы континуальной механики повреждаемости. — СПб.: АООТ «НПО ЦКТИ им. И. Н. Ползунова», 1997. — 147 с.
21. Гринь Е. А. Возможности механики разрушения применительно к задачам прочности, ресурса и обоснования безопасной эксплуатации тепломеханического оборудования / Теплоэнергетика. 2013. № 1. С. 25 – 32.

22. **Ланин А. А.** Феноменологические закономерности развития хрупких локальных разрушений при высокотемпературной ползучести / Теплоэнергетика. 2013. № 1. С. 47 – 54.
23. ГОСТ 25.506–85. Методы механических испытаний металлов. Определение характеристик трещиностойкости (вязкости разрушения) при статическом нагружении. — М.: Госстандарт СССР, 1985. — 61 с.
24. **Писаренко Г. С., Науменко В. П., Волков Г. С.** К определению коэффициента интенсивности напряжений в образце с боковыми пазами / Проблемы прочности. 1977. № 10. С. 5 – 10.

REFERENCES

1. Mashinostroenie [Engineering]. Encyclopedia. Vol. 1 – 38. — Moscow: Mashinostroenie, 1987 – 2009 [in Russian].
2. Bezopasnost Rossii. Pravovye, socialno-economicheskie i nauchno-tehnicheskie aspekty [The Security of Russia. Legal, socio-economic and scientific-technical aspects]. Vol. 1 – 44. — Moscow: MGOF “Znaniye”, 1998 – 2013 [in Russian].
3. **Frolov K. V., Izrailev Y. L., Makhutov N. A., et al.** Raschet termonapryazhenii i prochnosti rotorov i korpusov turbin [The calculation thermostress and strength of the rotors and casings of the turbines]. — Moscow: Mashinostroenie, 1998. — 239 p. [in Russian].
4. **Irvin J., Paris P.** Osnovy teorii rosta treschin i razrusheniya [Fundamentals of the theory of crack growth and fracture]. In: Razrusscheniya [The Fracture]. Vol. 3 / G. Libovic (ed.). — Moscow: Mir, 1976. P. 17 – 66 [Russian translation].
5. **Tulyakov G. A., Skorobogatykh V. N., Grinevsky V. V.** Konstruktionsnye materialy dlya énergomashinostroeniya [Structural materials for power engineering]. — Moscow: Mashinostroenie, 1991. — 240 p. [in Russian].
6. **Rice J., Rosengren G.** Plane — stain deformation near a crack tip / J. Mech. Phys. Solids. 1968. Vol. 16. N 1. P. 1 – 12.
7. **Riedel H.** Creep deformation at crack tips in elastic-viscoplastic solids / J. Mech. Phys. Solids. 1981. Vol. 29. P. 35 – 49.
8. Makhutov N. A. Obosnovaniye predel'nykh sostoyaniy materialov i konstruktii v shtatnykh i neshtatnykh situatsiyakh [Justification of the limit states of materials and structures in normal and abnormal situations] / Zavod. Lab. Diagn. Mater. 2013. Vol. 79. N 12. P. 3 – 5 [in Russian].
9. **Koterazava R., Mori T.** Primenimost' kriteriev mekhaniki razrusheniya k rasprostraneniyu treshchiny v usloviyakh polzuchesti [The applicability criteria of fracture mechanics to crack propagation under creep] / Teor. Osn. Inzhenern. Rasch. / Trudy AOIM. 1977. N 4. P. 11 – 18 [in Russian].
10. **Bansyussan P., Maas E., Pelu R., Pino A.** Issledovanie initsirovaniya i rasprostraneniya treshchiny pri polzuchesti s privlecheniem printsipov mekhaniki razrusheniya i lokal'nogo podkhoda [Study the initiation and propagation of cracks under creep involving principles of fracture mechanics and local approach] / Teor. Osn. Inzhenern. Rasch. / Trudy AOIM. 1988. N 4. P. 145 – 158 [in Russian].
11. **Morozov E. M., Zernin M. V.** Kontaktne zadachi mekhaniki razrusheniya [Contact tasks of fracture mechanics]. — Moscow: Izd. URSS, 2010. — 544 p. [in Russian].
12. **Matvienko Y. G.** Modeli i kriterii mekhaniki razrusheniya [Models and criteria of fracture mechanics]. — Moscow: Fizmatlit, 2006. — 328 p. [in Russian].
13. **Ohtani R., Nitta A.** Crack propagation in creep / J. Soc. Mater. Sci. 1976. Vol. 25. P. 746 – 752.
14. **Balina V. S., Lanin A. A.** Prochnost' i dolgovechnost' konstruktsii pri polzuchesti [The strength and durability of structures in creep]. — St. Petersburg: Politekhnika, 1995. — 182 p. [in Russian].
15. **Makhutov N. A.** Prochnost' i bezopasnost': fundamental'nye i prikladnye issledovaniya [Strength and security: fundamental and applied research]. — Novosibirsk: Nauka, 2008. — 528 p. [in Russian].
16. **Landes J. D., Begley J.** A fracture mechanics approach to creep crack growth / ASTM STP-590. 1976. P. 128 – 148.
17. **Harper M. P., Ellison E. G.** The use of the C^* parameter in predicting creep crack propagation rates / J. Strain Anal. 1977. Vol. 12. P. 167 – 179.
18. **Hutchinson J.** Plastic stress and strain fields at a crack tip / J. Mech. Phys. Solids. 1968. Vol. 16. N 5. P. 337 – 347.
19. **Nikbin K., Smith D., Webster G.** An Engineering approach to the Prediction of Creep Crack Growth / Trans. ASME. 1986. Vol. 107. P. 186 – 191.
20. **Petrenya Yu. K.** Fiziko-mekhanicheskie osnovy kontinual'noi mekhaniki povrezhdaemosti [Physico-mechanical basis of the continuum mechanics of damage]. — St. Petersburg: Izd. JSC “NPO TsKTI im. I. N. Polzunova”, 1997. — 147 p. [in Russian].
21. **Grin' E. A.** Vozmozhnosti mekhaniki razrusheniya primenitel'no k zadačam prochnosti, resursa i obosnovaniyu bezopasnoi ekspluatatsii teplomekhanicheskogo oborudovaniya [Possibilities of fracture mechanics as applied to problems of strength, resource and justify the safe operation of thermomechanical equipment] / Teploénergetika. 2013. N 1. P. 25 – 32 [in Russian].
22. **Lanin A. A.** Fenomenologicheskie zakonomernosti razvitiya khrupkikh lokal'nykh razrushenii pri vysokotemperaturnoi polzuchesti [Phenomenological regularities of development of brittle local fractures at high-temperature creep] / Teploénergetika. 2013. N 1. P. 47 – 54 [in Russian].
23. State Standard GOST 25.506–85. Metody mekhanicheskikh ispytanii metallov. Opredelenie kharakteristik treshchinostoikosti (vyazkosti razrusheniya) pri staticheskem nagruzhenii [Methods of mechanical testing of metals. The definition of the characteristics of crack resistance (fracture toughness) under static loading]. — Moscow: Gosstandart SSSR, 1985. — 61 p. [in Russian].
24. **Pisarenko G. S., Naumenko V. P., Volkov G. S.** K opredeleniyu koéf-fitsienta intensivnosti napryazhenii v obraztse s bokovymi pazami [To the definition of the stress intensity factor in the specimen with side grooves] / Probl. Prochn. 1977. N 10. P. 5 – 10 [in Russian].